

# ФОРМУВАННЯ ТА ВЛАСТИВОСТІ МСМ-41 З ІНКАПСУЛЬОВАНИМ В ЙОГО ПОРИ $\beta$ -ЦІКЛОДЕКСТРИНОМ, $\text{FeSO}_4$ ТА ЇХ КАВІТАТОМ

Т. М. Біщанюк, І. І. Григорчак

Національний університет «Львівська політехніка»,  
м. Львів, Україна

Надійшла до редакції 13. 05. 2014

Представлено результати дослідження характеристик пористої кремнеземної матриці МСМ-41 з інкапсульованим в її пори  $\beta$ -циклодекстрином ( $\beta$ -CD) в квітандному та кавітатному (з  $\text{FeSO}_4$ ) стані. Встановлено характер змін частотної дисперсії імпедансу, тангенса кута електричних втрат та діелектричної проникності синтезованих інкапсулатів при нагріванні, освітленні та в магнітному полі. За даними термостимульованої деполяризації аналізуються відмінності в модифікації домішкового спектру, спричиненої різним видом гостевого контенту. Знайдено умови, при яких синтезовані наногібриді можуть виявитися цікавими з точки зору формування структур квантових акумуляторів електричної енергії та ємнісних головок для зчитування інформації з магнітних носіїв.

**Ключові слова:** нанопориста матриця МСМ-41,  $\beta$ -циклодекстрин, система «господар-гість», ієрархічна архітектура, імпеданс, діаграми Найквіста, діелектрична проникність, тангенс кута електричних втрат, термостимульована деполяризація.

## ФОРМИРОВАНИЕ И СВОЙСТВА МСМ-41 С ИНКАПСУЛИРОВАННЫМ В ЕГО ПОРЫ $\beta$ -ЦИКЛОДЕКСТРИНОМ, $\text{FeSO}_4$ И ИХ КАВИТАТОМ

Т. Н. Бищанюк, И. И. Григорчак

Представлены результаты исследований характеристик пористой кремнеземной матрицы МСМ-41 с инкапсулированным в ее поры  $\beta$ -циклодекстрином ( $\beta$ -CD) в квітандном и кавітатном (с  $\text{FeSO}_4$ ) состояниях. Установлен характер изменений частотной дисперсии импеданса, тангенса угла электрических потерь и диэлектрической проницаемости, синтезированных инкапсулаторов при нагревании, освещении и в магнитном поле. По данным термостимулированной деполяризации анализируются различия в модификации примесного спектра, вызванного разным видом гостевого контента. Найдены условия, при которых синтезированные наногибиды могут оказаться интересными с точки зрения формирования структур квантовых аккумуляторов электрической энергии и емкостных головок считывания информации с магнитных носителей.

**Ключевые слова:** нанопориста матрица МСМ-41,  $\beta$ -циклодекстрин, система «хозяин-гость», иерархическая архитектура, импеданс, диаграммы Найквиста, диэлектрическая проницаемость, тангенс угла электрических потерь, термостимулированная деполяризация.

## FORMATION AND PROPERTIES OF MCM-41 WITH ENCAPSULATED IN ITS PORES $\beta$ -CYCLODEXTRIN, $\text{FeSO}_4$ AND THEIR CAVITAT

T. M. Bishchaniuk, I. I. Grygorchak

The results of research performance of porous silica matrix MCM-41 with encapsulated in the pores of  $\beta$ -cyclodextrin ( $\beta$ -CD) in cavitand and cavitant (with  $\text{FeSO}_4$ ) state were presented. The character of changes in the frequency dispersion of the impedance, electrical loss tangent and dielectric constant of the synthesized encapsulates at heating, illuminating and in a magnetic field were elucidated. According to the analysis of thermally stimulated depolarisation differences in the modification of the impurity spectrum caused by different type of guest content were analyzed. The conditions under which synthesized nanohybrids may be interesting in terms of the formation of quantum battery of electric energy and capacitance heads for reading data from magnetic media were finded.

**Keywords:** nanoporous matrix MCM-41,  $\beta$ -cyclodextrin, host-guest system, hierarchical architecture, impedance, Nyquist diagrams, dielectric constant, electric loss tangent, thermally stimulated depolarization.

## ВСТУП

Останнім часом спостерігається бурхливий розвиток досліджень наногібридів, отриманих інкапсуляцією гостевих компонентів у молекулярно-граткові матриці. Властивості та структура речовини у гостевих позиціях нанопористих матриць та поза ними можуть значно відрізнятися. Суттєву роль в цьому відграє ступінь заповнення пористої матриці, взаємодії частинок зі стінками пор та міжчастинкова взаємодія. Водночас це суттєво позначається на характеристиках самих нанокомпозитів.

На сьогоднішній день досить грунтально вивчені особливості поведінки в мезопористих матрицях поблизу фазових переходів сегнетоелектриків [1—4], феромагнетиків [5—8], надпровідників та суперіоніків [9—10]. Хоч формування гетероструктурованих неорганічно/органічних і біо/неорганічних нанокомпозитних матеріалів вже більш як десятиліття привокує пристальну увагу як спосіб отримання структур з широким спектром нових, невідомих досі властивостей [11, 12], успіхи, досягнуті на шляху їх практичного застосування, ще не можна вважати вражаючими. Поки що накопичений лише незначний досвід і зроблені тільки перші кроки [13—15].

Видеться, що подальшого прогресу в комплексному дослідженні таких наногібридів, спрямованому на розширення сфер їх практичного застосування, можна досягнути застосуванням в якості гостевого контенту супрамолекулярних об'єктів, з якими часто пов'язують можливість реалізації унікальних фізико-хімічних властивостей, які часто є парадоксальними [16—18]. У них рецептор («господар») містить молекулярні центри налаштовані на селективне зв'язування певного визначеного субстрата («гостя») за так званим принципом «замок-ключ». В таких системах одним з найважливіших є принцип комплементарності — геометрична, топологічна і зарядова відповідність «гість-господар». Очевидно, що такий підхід відкриває можливість формування ієрархічно

-фрактальних супрамолекулярних архітектур субгосподар <господар<гість>>. Очікується, що останні зможуть внести важомий внесок в розвиток наноінженерії. На жаль, цьому аспекту проблеми практично не надавалася увага. Тому метою даної роботи є заповнення в певній мірі зазначеної прогалини в цій галузі знань.

## КОНЦЕПТУАЛЬНІ ПОЛОЖЕННЯ І МЕТОДИКА КСПЕРИМЕНТУ

В експериментах в якості матриці-субгосподаря служила молекулярно-граткова нанопориста регулярна структура на основі  $SiO_2$  — MCM-41 [19] торгівельної марки Sigma Aldrich. Вона має гексагональну структуру типу бджолиних сот з товщиною стінок 0,6—0,8 нм і калібриваним розміром пор, який можна направлено змінювати в діапазоні 3—10 нм. Згідно даних електронної мікроскопії, діаметр пор становив ~37 Å. Відповідно, питома поверхня каналів становить  $984 \text{ m}^2/\text{г}$ . Стінки пор MCM-41 аморфні, але на великих масштабах молекулярні гратки володіють далекосяжним порядком. Гостевим контентом, як проміжний господар, був вибраний органічний кавітанд  $\beta$ -циклодекстрин з огляду на його унікальну структурну особливість, а саме поділ гідрофільних і гідрофобних груп, що обумовлює незвичайні фізико-хімічні властивості. Найважливішою серед них — здатність зворотно і селективно зв'язувати органічні, неорганічні, біологічні молекули, формуючи комплекси включення за типом «гість-господар». Висока електронна густина усередині порожнини  $\beta$ -CD може активувати електрони молекул «гостей», що призводить до зміни спектральних властивостей як включених молекул, так і самого рецептора. Утворення комплексів включення засноване на взаємодіях нековалентної природи — електростатичних, ван-дер-ваальсових,  $\pi$ - $\pi$  і стеричних ефектах. Останнім часом інтерес до  $\beta$ -CD викликаний і через його використання як кільцевого компонента у конструюванні різноманітних

супрамолекулярних архітектур, таких як ротаксани, псевдоротаксани і катенани. Ці ансамблі володіють унікальною структурою та властивостями, завдяки яким мають потенційне застосування як молекулярні переключачі та молекулярні машини [20].

Впровадження гостьового контенту досягалось за допомогою методики інкапсуляції, описаної, наприклад, в [2, 21], за якою і формувалися зразки для досліджень. При цьому, кавітат  $\beta\text{-CD}\langle\text{FeSO}_4\rangle$  формувався попередньо за методикою, яка застосовувалася в [20, 22] для утворення комплексів включення з оксидами металів. Імпедансні вимірювання виконані в діапазоні частот  $10^{-3}$ — $10^6$  Гц при температурах  $-30$ — $+60$  °C як в темряві, так і при освітленні, з накладанням магнітного поля напруженістю 2,75 кОе, чи без нього за допомогою вимірювально-го комплекса «AUTOLAB» фірми «ECO CHEMIE» (Голландія), укомплектованого комп'ютерними програмами FRA-2 та GPES. Частотні залежності комплексного імпедансу  $Z$  аналізувалися графоаналітичним методом в середовищі програмного пакету ZView 2.3 (Scribner Associates). Похибки апроксимації не перевищували 4 %. Спектри термостимульованої деполяризації залишувалися в режимі короткозамкнутих контактів при лінійному нагріванні зі швидкістю 5 °C/хв.

## РЕЗУЛЬТАТИ ТА ЇХ ОБГОВОРЕННЯ

На рис. 1 наведені вимірювання в темряві частотні залежності дійсної складової комплексного питомого імпедансу ( $\text{Re } Z$ ) MCM-41 до і після впровадження  $\beta$ -циклодекстрину, сульфату заліза і їх супрамолекулярного комплексу. Видно, що при кімнатній температурі (293 K)  $\text{Re } Z$  для вихідної матриці MCM-41 веде себе звичливим чином: низькочастотна вітка переходить у низспадаючу при високих частотах, зокрема і за рахунок вкладу перескокової провідності з участю локалізованих станів поблизу рівня Фермі, або процесів збудження — захоплення їх у хвости зон чи в зоні делокалізованих станів [23, 24]. При цьому вона є монотонною функцією частоти. Після інкапсуляції як  $\beta$ -CD, так і  $\text{FeSO}_4$   $\text{Re } Z$  в найнижкочастотнішій області

зменшується більш як на два порядки. Подальше зменшення  $\text{Re } Z$  після впровадження  $\beta\text{-CD}\langle\text{FeSO}_4\rangle$  демонструє аддитивність впливу на субматрицю рецептора і субстрата кавітатного комплексу.

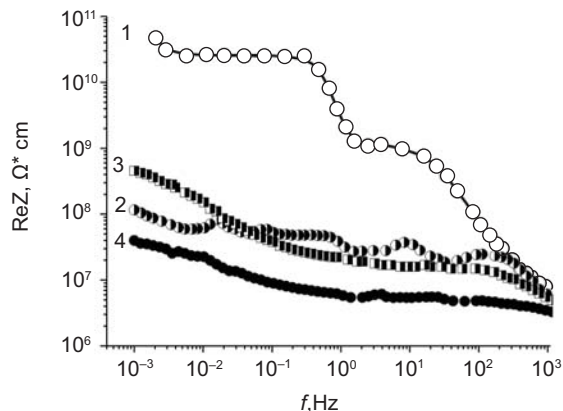
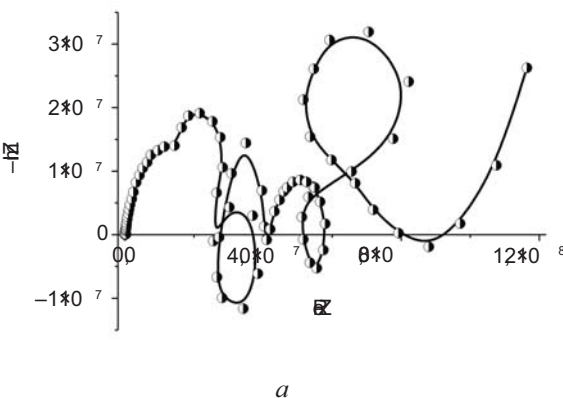


Рис. 1. Частотні залежності реальної складової питомого імпедансу MCM-41 (1), MCM-41 $\langle\beta\text{-CD}\rangle$  (2), MCM-41 $\langle\text{FeSO}_4\rangle$  (3) та MCM-41 $\langle\beta\text{-CD}\langle\text{FeSO}_4\rangle\rangle$  (4), вимірюяні в темряві

Неординарним фактом є те, що для наногібриду MCM-41 $\langle\beta\text{-CD}\rangle$  спостерігається деформація (немонотонна частотна дисперсія) низько- та середньочастотних ділянок  $\text{Re } Z(f)$ . Як було показано нами в [25], така поведінка, як правило, спряжена з появою індуктивного відгуку. І дійсно, як бачимо з наведених на рис. 2 діаграм Найквіста — відображення повного імпедансу в комплексній площині з координатними осями його дійсної і уявної частин —  $\text{Re } Z$  —  $\text{Im } Z$ , низькочастотна вітка відповідного годографу переходить у IV — індуктивний квадрант. Це явище «від’ємної» ємності достатньо добре відоме з літературних джерел, хоч його механізм остаточно не з’ясований і, мабуть, він не має єдиної природи [26—30].



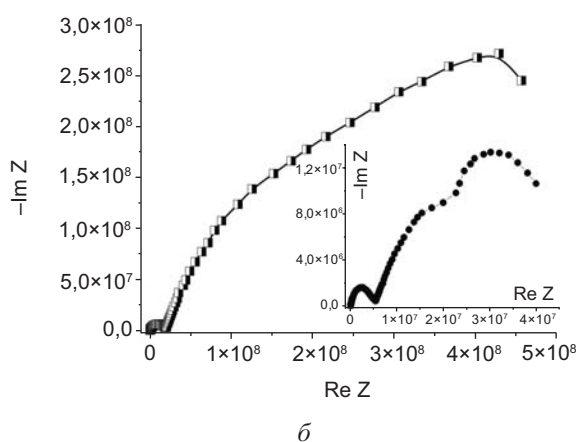
*б*

Рис. 2 *a* — діаграма Найквіста для МСМ-41< $\beta$ -CD>, виміряна в темряві, *б* — діаграма Найквіста для МСМ-41< $FeSO_4$ > та МСМ-41< $\beta$ -CD< $FeSO_4$ >> (на вставці), вимірюних в темряві

За найбільш загальним механізмом, індуктивна поведінка виникає навіть тоді коли заряд вводиться в області малих або надмалих розмірів, тобто, діапазону декількох на-нometрів [31]. Водночас немонотонність  $ReZ(f)$  відображається на багатозначності годографу імпедансу. Спостережуваний індуктивний відгук може знайти своє застосування для вирішення проблеми формування нановимірних ліній затримки для яких використання котушок індуктивності неприйнятне «*a priori*», а застосувані сьогодні електронні імітатори — гіратори ускладнюють наносхеми та знижують надійність.

Для МСМ-41< $FeSO_4$ > і МСМ-41< $\beta$ -CD < $FeSO_4$ >> індуктивний відгук не візуалізується. Для обидвох видів контенту характерною спільною ознакою є синтетично тридуговий характер діаграм Найквіста з розподіленими часами релаксації, який в загальному відображає бар'єрний енергетичний рельєф для струмопроходження через матрицю МСМ-41, інкапсульований контент та межу розділу контена з субматрицею. При цьому більша частотна дисперсія для МСМ-41< $\beta$ -CD< $FeSO_4$ >> зумовлена «тонкою структурою» енергетичного рельєфу, викликаного ієрархічністю архітектури.

Виходячи з принципу побудови наногібридизованих інкапсулатів, найбільш імовірно допустити, що механізм явища «від’ємної ємності» в нашому випадку полягає в захопленні інжектованих носіїв струму централами прилипання (у квантових ямах),

їх утримуванні впродовж часу співмірного з півперіодом синусоїdalного вимірювального сигналу і подальшого вивільнення. В цьому разі спостережувана (рис. 2) відмінність між частотними генезисами годографів імпедансу зумовлена в кінцевому рахунку різною топологією електронних станів (зокрема і пасткових). Те що воно є різною для синтезованих наногібридів підтверджується спектрами струмів термостимульованої деполяризації (ТСД), вимірюваних в режимі короткозамкнутих контактів (рис. 3).

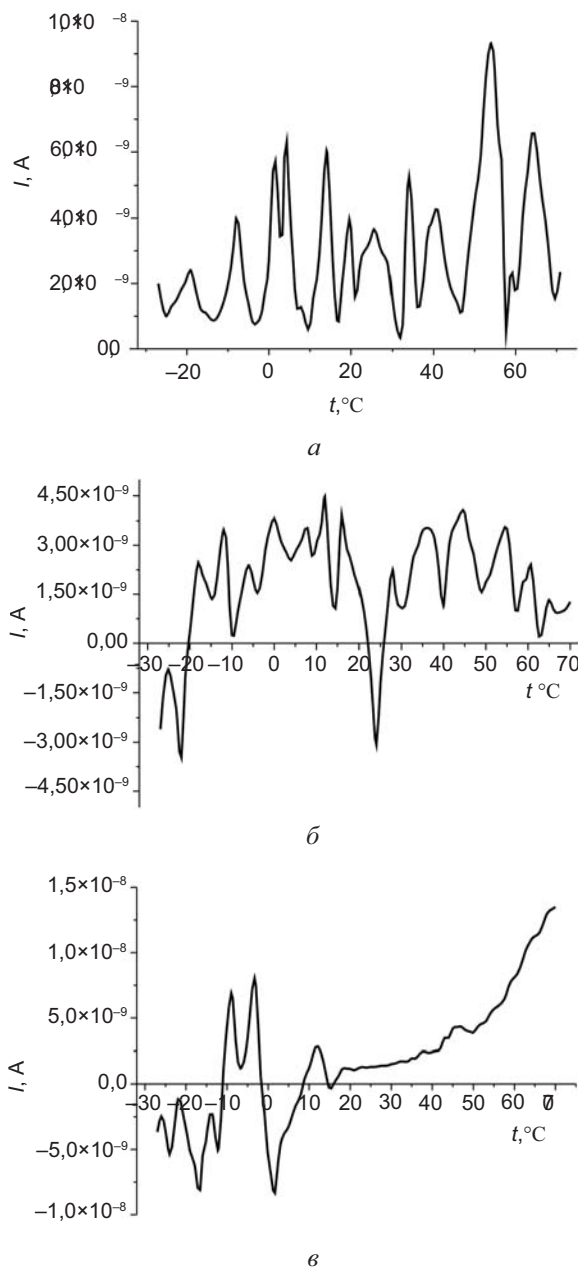


Рис. 3. Струми термостимульованої деполяризації МСМ-41< $\beta$ -CD> (*а*), МСМ-41< $FeSO_4$ > (*б*) та МСМ-41< $\beta$ -CD< $FeSO_4$ >> (*в*)

В цьому контексті виникнення струмів ТСД зумовлено тим, що наявність пасткових центрів  $\epsilon$  є причиною виникнення залишкової поляризації внаслідок викиду електронів і дірок з екранованих просторовим зарядом асиметричних потенціальних ям [32—36].

Бачимо, що для усіх синтезованих структур візуалізується спектральна смуга, що відповідає практично неперервному набору часів релаксацій з температурного інтервалу 240—340 К. При цьому MCM-41 з  $\beta$ -циклодекстрином характеризується однотипним механізмом релаксації, натомість для MCM-41 $<\text{FeSO}_4>$  і MCM-41 $<\beta\text{-CD}<\text{FeSO}_4>>$  притаманними є два типи релаксації: гомозаряду та гетерозаряду. Цікаво також відзначити на порядок меншу густину струму для MCM-41 $<\text{FeSO}_4>$  і трансформацію смугастого спектру в неперервний для MCM-41 $<\beta\text{-CD}<\text{FeSO}_4>>$  при  $t \geq 15^\circ\text{C}$ . Останнє, напевно, може означати посилення електрон-фононної взаємодії при ієрархізації архітектури.

Вищеведені особливості енергетичного спектру та механізмів струмопроходження в синтезованих наногібридіах повинні певним чином проявитися і в поляризаційних властивостях, хоча б за рахунок максвелловагнерівської сегментарної поляризації та додаткової поляризації, що виникає при перескоках носіїв заряду по локалізованих станах поблизу рівня Фермі [37, 38]. Для експериментального обґрунтування цих міркувань, аналіз поляризаційних характеристик проводився у діапазоні частот 100 Гц — 1 МГц, оскільки в ньому тангенс кута електричних втрат ( $\text{tg}\delta$ ) матриці MCM-41 є суттєво меншим від одиниці (рис. 4). Як видно з нього, інкапсуляція викликає ріст  $\text{tg}\delta$ , що є очікуваним, так як в цьому разі зростає дисипація енергії, пов'язана, зокрема, з електропровідністю. Діелектрична проникливість у даній частотній області після інкапсуляції  $\beta\text{-CD}$  і  $\text{FeSO}_4$  дійсно (як передбачалося) сильно зростає (рис. 5), причому для останнього контенту цей ріст є втричівищим в частотному інтервалі до 1 кГц. При цьому ієрархізація структури ще майже на порядок підвищує  $\epsilon$ . На цьому ж рисунку добре видно появу аномальної частотної

дисперсії  $\epsilon$  (її ріст зі збільшенням частоти) для MCM-41 $<\beta\text{-CD}>$  і MCM-41 $<\text{FeSO}_4>$  відповіно у діапозонах  $42 < f < 150$  кГц та  $124 < f < 760$  кГц, яка у відповідності до [38] якраз і пов'язана з перескоковим механізмом струмопроходження.

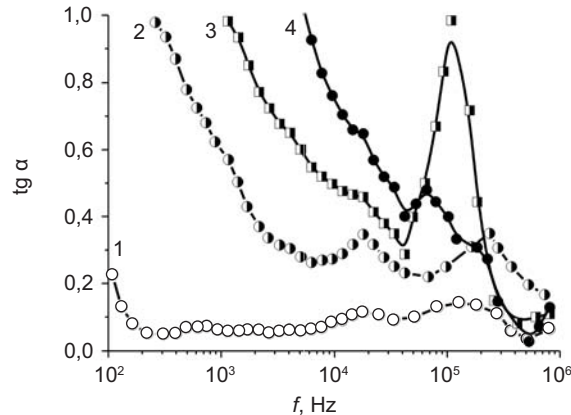


Рис. 4. Частотні залежності тангенса кута електричних втрат MCM-41 (1), MCM-41 $<\beta\text{-CD}>$  (2), MCM-41 $<\text{FeSO}_4>$  (3) та MCM-41 $<\beta\text{-CD}<\text{FeSO}_4>>$  (4), виміряні в темряві

Для з'ясування можливих механізмів, які є відповідальними за спостережувані ефекти сильного зростання діелектричної проникливості, з самого початку необхідно звернутися до структури досліджуваних об'єктів.

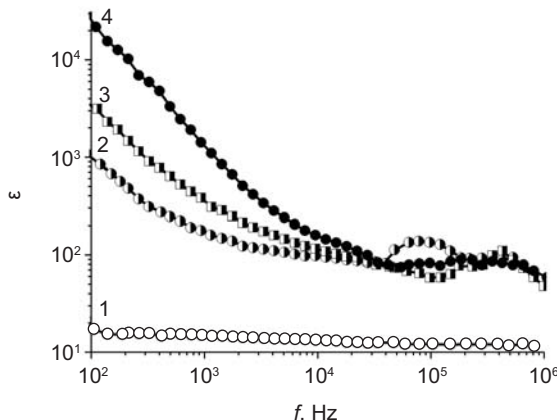


Рис. 5. Частотні залежності діелектричної проникливості MCM-41 (1), MCM-41 $<\beta\text{-CD}>$  (2), MCM-41 $<\text{FeSO}_4>$  (3) та MCM-41 $<\beta\text{-CD}<\text{FeSO}_4>>$  (4), виміряні в темряві

Добре відомо, що фазами, яким властиве гігантське значення діелектричної проникливості в певному температурному околі є сегнетоелектрики. В цьому аспекті з температурної залежності MCM-41 $<\beta\text{-CD}>$  і MCM-41 $<\text{FeSO}_4>$  (рис. 6a) випливала би наявність двох точок Кюрі (як, наприклад,

для класичного сегнетоелектрика — сегнетової солі [39]). На це вказує і різкий спад максимальних значень  $\epsilon$  з підвищенням частоти (рис. 6б).

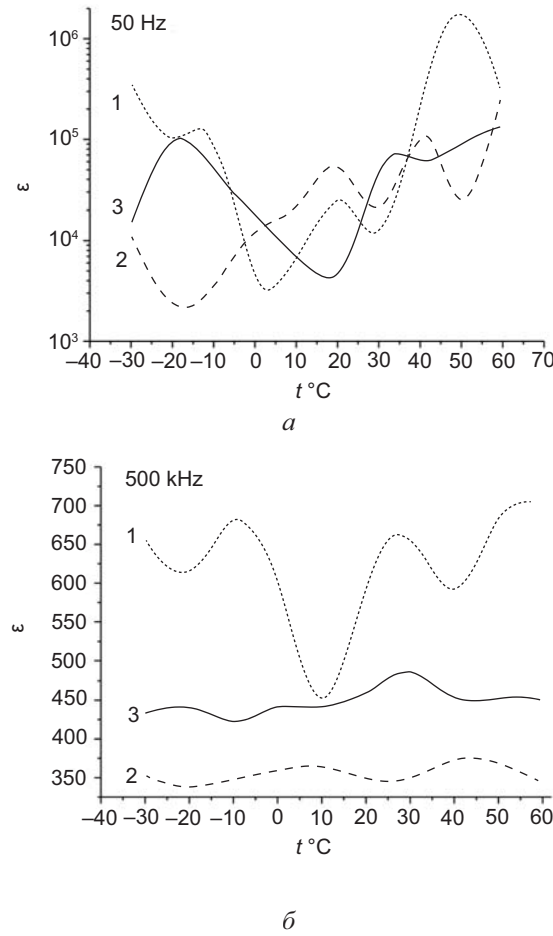


Рис. 6: а — температурні залежності діелектричної проникності MCM-41< $\beta$ -CD> (1), MCM-41< $FeSO_4$ > (2) та MCM-41< $\beta$ -CD< $FeSO_4$ >> (3), виміряні в темряві на частоті 50 Гц, б — температурні залежності діелектричної проникності MCM-41< $\beta$ -CD> (1), MCM-41< $FeSO_4$ > (2) та MCM-41< $\beta$ -CD< $FeSO_4$ >> (3), виміряні в темряві на частоті 500 кГц

Однак, відсутність візуалізації петель гістерезису свідчить про потребу пошуку альтернативного механізму спостережуваних явищ. При цьому слід додати, що в основному протилежний до  $\epsilon$  ( $T$ ) температурний генезис  $tg\delta$  ( $T$ ) (рис. 7), свідчить про те, що екстремуми дисипації енергії мають різну фізичну природу і залежать від механізму струмопроходження. Як слідує з рис. 8, він різнистіся для синтезованих наногібридів. Зокрема видно, що хоч кількість температурних інтервалів неареніусівського механізму і  $\epsilon$  є однаковою для всіх, проте їх положення  $\epsilon$  відмінними. Все це вказує на складніші

механізми релаксації, ніж дебаєвський чи джоншерівський [40].

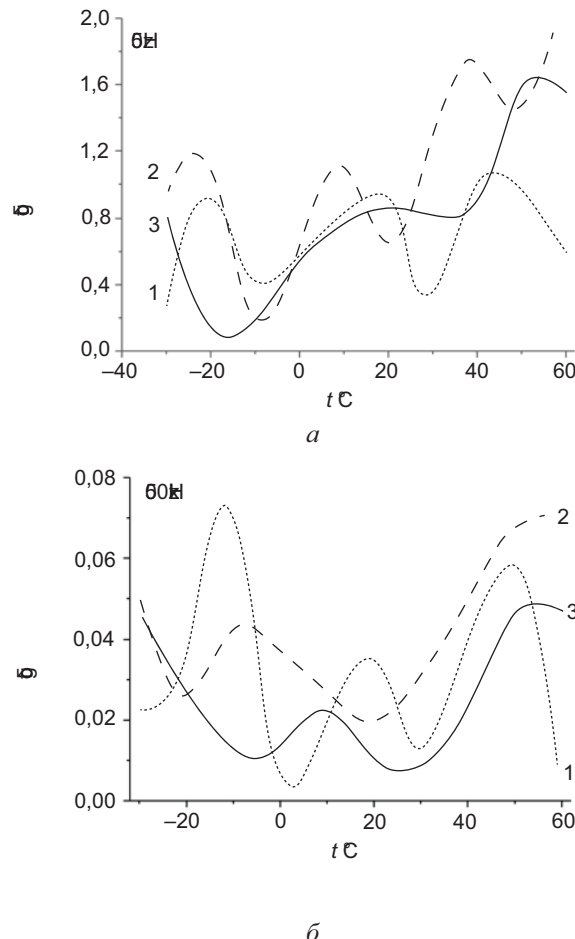


Рис. 7: а — температурні залежності тангенса кута електричних втрат MCM-41< $\beta$ -CD> (1), MCM-41< $FeSO_4$ > (2) та MCM-41< $\beta$ -CD< $FeSO_4$ >> (3), виміряні в темряві на частоті 50 Гц, б — температурні залежності тангенса кута електричних втрат MCM-41< $\beta$ -CD> (1), MCM-41< $FeSO_4$ > (2) та MCM-41< $\beta$ -CD< $FeSO_4$ >> (3), виміряні в темряві на частоті 500 кГц

Тоді, виходячи з архітектури синтезованих наногібридів та даних термостимульованої деполяризації (рис. 3) найімовірніше допустити, що гостівий контент за своєю суттю представляє собою координаційні дефекти (структуря яких відмінна від вихідної матриці) з від'ємною кореляційною енергією, які утворюють квазінеперервний спектр локалізованих станів в забороненій зоні [41]. З огляду на це аналіз літературних даних [42—44] дає змогу резюмувати наступний можливий альтернативний механізм колосального значення діелектричної проникності. Високе значення діелектричної проникності може бути пов'язане з особливим станом електронної підсистеми, а

саме — перерозподілом носіїв заряду між нанокластерами таким чином, що сусідні пари різних фаз заряджені протилежним знаком і їх можна розглядати як диполі, які за рахунок зарядової поляризації вносять суттєвий вклад в діелектричну проникність.

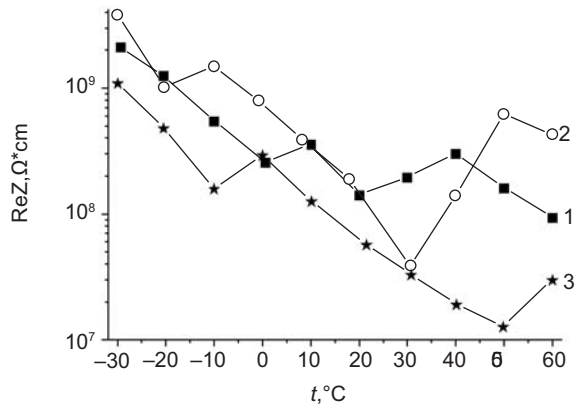


Рис. 8. Температурні залежності реальної складової питомого імпедансу MCM-41< $\beta$ -CD> (1), MCM-41< $\text{FeSO}_4$ > (2) та MCM-41< $\beta$ -CD< $\text{FeSO}_4$ >> (3), виміряні в темряві

Механізм розподілу між різними фазами може бути зумовлений:

- різним значенням хімічного потенціалу фаз;
- тунелюванням, при якому час життя електронів на певних прошарках може бути досить великим і система буде заряджена. Водночас, відзначене вище захоплення заряду пастками в бар'єрному шарі і їх емісія в область зерна — процеси, еквівалентні перемиканню квазідиполів у зовнішньому полі. При цьому просторовий заряд, відповідальний за поляризаційний процес, формується перерозподілом носіїв заряду по локальних станах, зумовлених наявністю заряджених дефектів  $D^+$ ,  $D^-$  і потенціальних бар'єрів між кластерами з підвищеною координацією і основною матрицею [45—47].

При освітленні синтезованих наногібридів видимим світлом реальна складова комплексного питомого імпедансу, логічно, зменшується (рис. 9) за рахунок нерівноважних носіїв. Але неординарним є те, що освітлення викликає для MCM-41< $\beta$ -CD> сильний ріст амплітуди осциляцій ReZ ( $f$ ) в середньочастотному інтервалі та появу немонотонності у низькочастотній області, яка

також появляється і для MCM-41< $\text{FeSO}_4$ > (рис. 9, криві 1, 2).

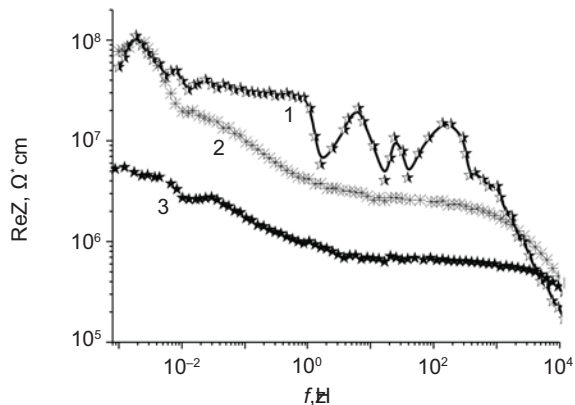
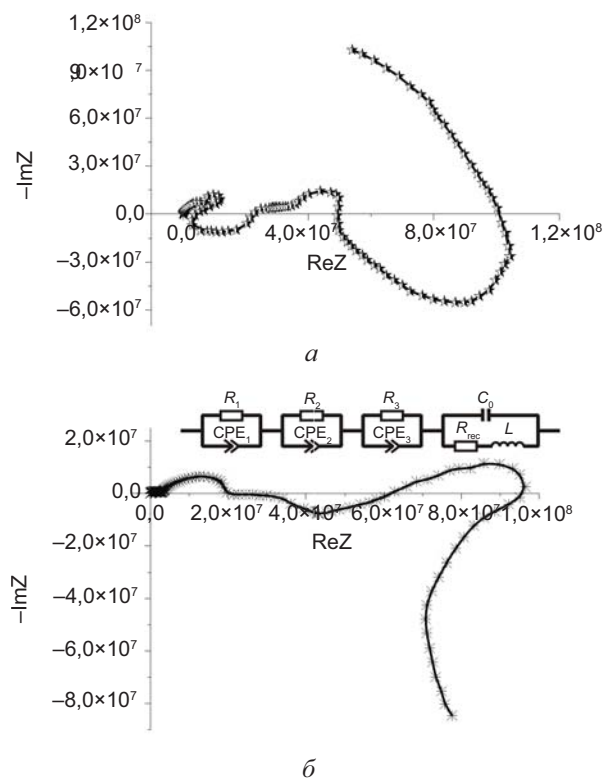


Рис. 9. Частотні залежності реальної складової питомого імпедансу MCM-41< $\beta$ -CD> (1), MCM-41< $\text{FeSO}_4$ > (2) та MCM-41< $\beta$ -CD< $\text{FeSO}_4$ >> (3), виміряні при освітленні

Відповідно до цього, діаграми Найквіста (рис. 2) трансформуються до вигляду, зображеному на рис. 10. Звідси можемо констатувати вперше спостережуване явище від'ємної фотоємності для MCM-41< $\text{FeSO}_4$ >, оскільки індуктивний відгук не візуалізувався для даного наногібриду в темряві.



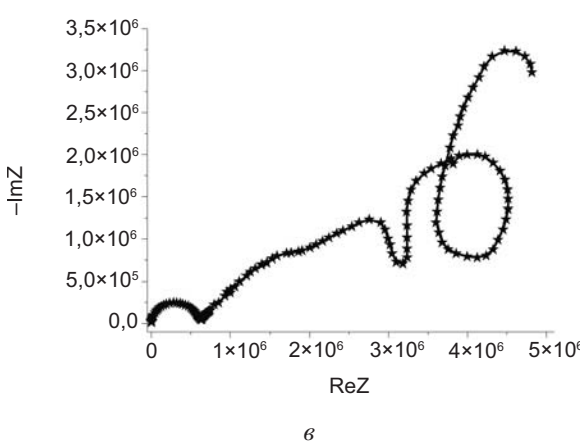


Рис. 10. Діаграми Найквіста для MCM-41< $\beta$ -CD> (а), MCM-41< $FeSO_4$ > (б) та MCM-41< $\beta$ -CD< $FeSO_4$ >> (в), виміряні при освітленні. На вставці до рис. 10б еквівалентна електрична схема

Механізм впливу освітлення на темнову від'ємну ємність як і появу гігантської від'ємної власне фотоємності найімовірніше пов'язаний з фотозбудженням електронів із зайнятих станів нижче рівня Фермі і формуванням таким чином пасткових центрів для інжектованих електронів з часом релаксації більшим від півперіоду синусоїdalного сигналу. У відповідності до цього еквівалентна електрична схема може бути представлена у вигляді, наведеному на вставці до рис. 10б. У ній найвисокочастотніша паралельна ланка  $R_1 // CPE_1$  (де  $CPE_1$  — елемент постійної фази ємнісного типу [48] моделює розподілену ємність, зумовлену наявністю вакансій або домішкових дефектів, які забезпечують електронну провідність при кімнатній температурі) та дві середньочастотні ланки відображають струмопроходження через двоякі енергетичні бар'єри в гостевих позиціях, а в найнизькочастотнішій ланці, що моделює струмопроходження через межу поділу гостевий контент // кремнеземна матриця,  $C_O = e2\delta n / \delta E_{Fn}$  (тут  $n$  — концентрація електронів,  $E_{Fn}$  — енергетичне положення електронного квазірівня Фермі) — квантова ємність [52],  $R_{rec}$  — опір рекомбінації, який моделює заваду для заряджання  $C_O$ ,  $L$  — індуктивність.

Комп'ютерна параметрична ідентифікація запропонованої імпедансної моделі дала значення індуктивності  $L \sim 10^9$ , яке на три порядки є вищим від аналогічного параметра для сонячних елементів, знайденої в [31].

Факт відсутності від'ємної фотоємності для ієрархічної архітектури MCM-41< $\beta$ -CD < $FeSO_4$ >> незважаючи на її присутність у відповідних одинарних наногібридіах залишається незрозумілим.

В межах вищерозглянутої моделі може знайти пояснення спостережуваному сильному зростанню діелектричної проникності при освітленні видимим світлом. Для синтезованих структур MCM-41< $\beta$ -CD>, MCM-41 < $FeSO_4$ > та MCM-41< $\beta$ -CD< $FeSO_4$ >> воно є відповідно три-, п'ятнадцяти- та чотирнадцятикратним на частоті 100 Гц (рис. 11).

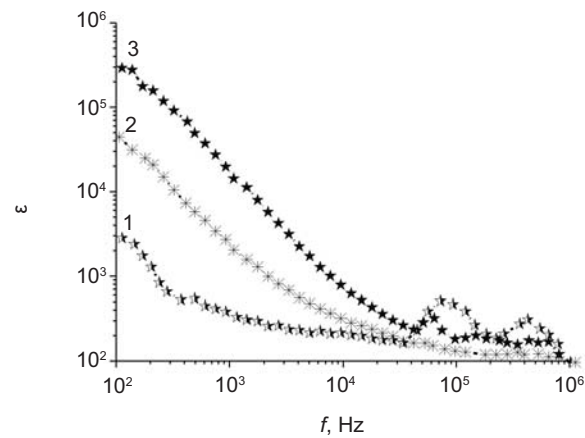


Рис. 11. Частотні залежності діелектричної проникності MCM-41< $\beta$ -CD> (1), MCM-41< $FeSO_4$ > (2) та MCM-41< $\beta$ -CD< $FeSO_4$ >> (3), виміряні при освітленні

В цьому разі освітлення таких речовин призводить до перерозподілу носіїв заряду по дискретних рівнях, поляризованисті окремих центрів, зміни густини станів [47]. Це в свою чергу викликає зміну діелектричної проникності, тобто фотодіелектричний ефект (ФДЕ).

У змінних електрических полях ФДЕ характеризується цілою низкою додаткових особливостей, оскільки існування складного спектра локалізованих станів зумовлює вклад в поляризаційні процеси різних енергетичних рівнів в залежності від частоти накладених електричного поля і освітленості. Це, зокрема, проявляється в частотних осциляціях діелектричної проникності, як це видно з рис. 11.

При накладанні магнітного поля амплітуда осциляцій  $ReZ(f)$  в середньочастотному діапазоні 1—1000 Гц для MCM-41< $\beta$ -CD> сягає гігантських значень (рис. 12).

Натомість у низькочастотній області (<1 Гц) вплив магнітного поля на дійсну складову комплексного імпедансу слабопомітний, як і для MCM-41<FeSO<sub>4</sub>> та ієархізованої архітектури MCM-41<β-CD<FeSO<sub>4</sub>>.

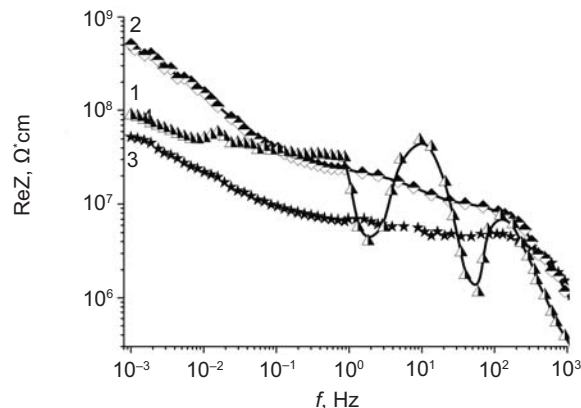


Рис. 12. Частотні залежності реальної складової пітому імпедансу MCM-41<β-CD> (1), MCM-41<FeSO<sub>4</sub>> (2) та MCM-41<β-CD<FeSO<sub>4</sub>>> (3), виміряні в магнітному полі

А ось при частотах більших від 1 кГц спостерігаємо рідкісний ефект від'ємного зміннострумового магнітоопору: ReZ ( $f$ ) в магнітному полі для усіх трьох структур зменшується більше, ніж в 10 разів. Це в свою чергу повинно відобразитися на високочастотних вітках діаграм Найквіста. І дійсно, як видно з рис. 13, магнітне поле не тільки кількісно, але і якісно міняє поведінку уявної складової комплексного імпедансу. В такому разі відповідні зміни очікуються і в поляризаційних характеристиках.

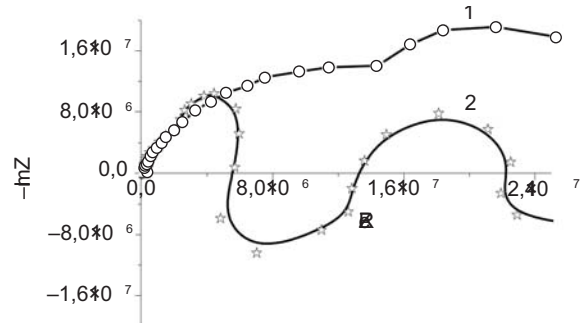


Рис. 13. Діаграми Найквіста для MCM-41<β-CD> (a), MCM-41<FeSO<sub>4</sub>> (б) та MCM-41<β-CD<FeSO<sub>4</sub>>> (c), вимірюні без магнітного поля (1) та в ньому (2)

Як видно з рис. 14, діелектрична проникність зростаючи, сягає високих значень при величинах тангенса кута втрат, менших від одиниці. Це свідчить про прояв колосального магнітоємісного ефекту.

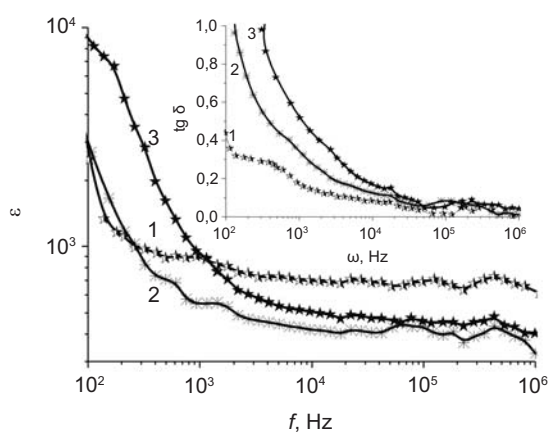


Рис. 14. Частотні залежності діелектричної проникності MCM-41<β-CD> (1), MCM-41<FeSO<sub>4</sub>> (2) та MCM-41<β-CD<FeSO<sub>4</sub>>> (3), вимірюні в магнітному полі. На вставці — відповідні криві для тангенса кута електрических втрат

Розуміння його механізму є складнішим. Результати інтенсивних досліджень відразу після відкриття перших магнітоелектриків (див. огляд [50]) до нашого часу не дозволяли говорити про їх практичне застосування через надзвичайно малі величини даного ефекту. І тільки нещодавно появилася публікація про виявлення ефекту гігантської магнітоємності (ГМЄ) [51]. Під ним розуміється досягнення в TbMnO<sub>3</sub> величини

$$\wp = \frac{\epsilon(H) - \epsilon(0)}{\epsilon(0)}$$

(де  $\epsilon(H)$  і  $\epsilon(0)$  — відповідно діелектричні проникності в магнітному полі і без нього) десять відсотків при низьких (18 K) температурах. Це відкриває перспективи заміни традиційно використовуваних індуктивних головок для зчитування інформації з магнітних носіїв на ємнісні магнітоелектричні елементи, що дозволяє зменшити розміри і втрати в них.

В нашому випадку величина магнітоємності  $\wp$  може сягати (наприклад, на частоті 50 кГц) від 430 до 540 % за кімнатних температур (рис. 15). Очевидно, що в даному разі механізм ГМЄ є відмінним від того, що реалізується в [51]. Його, у світлі вищевказаного, найбільш ймовірно пов'язати з зееманівською модифікацією енергетично-го спектру, як це успішно було зроблено авторами [52] для пояснення гігантського магніторезистивного ефекту при кімнатних температурах в La<sub>0,7</sub>Ba<sub>0,3</sub>MnO<sub>3</sub>.

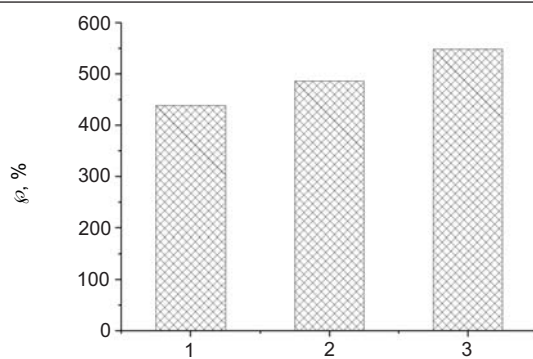


Рис. 15. Коефіцієнт магнітоемності для МСМ-41< $\beta$ -CD> (1), МСМ-41< $FeSO_4$ > (2) та МСМ-41< $\beta$ -CD< $FeSO_4$ >> (3)

Очевидно, що для остаточної відповіді про природу спостережуваних явищ необхідні подальші поглиблені як експериментальні, так і теоретичні дослідження. І вони будуть того варті, оскільки з практичної точки зору поєднання надвисокого значення  $\epsilon$  з низьким значенням  $\tan \delta$  є важливим для формування надвисокоемсих радіочастотних конденсаторів, причому з високою чутливістю до видимого світла та магнітного поля.

На закінчення звернемо увагу ще на один цікавий факт, який може мати колосальну практичну цінність. Він реалізується у МСМ-41< $FeSO_4$ >. Мова йде про низьке (<1) значення тангенса кута електричних втрат у найнижчочастотнішій дослідженій області (0,001—0,1 Гц). Приймаючи до уваги, що в цьому частотному інтервалі діелектрична проникність сягає гіантських значень  $\sim 10^6$  (рис. 16), будемо сподіватися, що такий підхід може привести до успіху у створенні квантових акумуляторів — новітньої альтернативи електрохімічним системам.

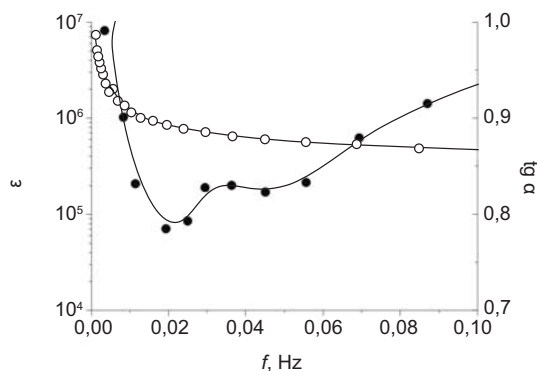


Рис. 16. Низькочастотні залежності діелектричної проникності і тангенса кута втрат МСМ-41< $FeSO_4$ >

## ВИСНОВКИ

- Після інкаспулляції як  $\beta$ -циклодекстрину, так і сульфату заліза дійсна складова комплексного питомого імпедансу в найнижчочастотнішій області зменшується більш як на два порядки. Подальше її зменшення після впровадження їхнього кавітативного комплексу демонструє адитивність впливу на субматрицю рецептора і субстрата.
- Для наногібридів МСМ-41< $\beta$ -CD> спостерігається немонотонна частотна дисперсія низько- та середньочастотних ділянок  $ReZ(f)$ , зумовлена появою індуктивного відгуку. Це може знайти своє практичне застосування для вирішення проблеми формування нановимірних ліній затримки.
- Для усіх синтезованих структур візуалізується спектральна смуга, що відповідає практично неперервному набору часів релаксацій з температурного інтервалу 240—340 К. При цьому МСМ-41 з  $\beta$ -циклодекстрином характеризується однотипним механізмом релаксації, на томіст для МСМ-41< $FeSO_4$ > і МСМ-41< $\beta$ -CD< $FeSO_4$ >> притаманними є два типи релаксації: гомозаряду та гетерозаряду.
- Діелектрична проникливість після інкаспулляції  $\beta$ -CD і  $FeSO_4$  дійсно (як передбачалося) сильно зростає (рис. 5), причому для останнього контенту цей ріст є втричі вищим в частотному інтервалі до 1 кГц. При цьому ієрархізація структури ще майже на порядок підвищує  $\epsilon$ .
- При освітленні синтезованих наногібридів видимим світлом реальна складова комплексного питомого імпедансу зменшується за рахунок нерівноважних носіїв, вперше демонструючи явище від'ємної фотоемності для МСМ-41< $FeSO_4$ >.
- Для синтезованих структур виявлено гіантський фотодіелектричний ефект: при освітленні видимим світлом наногібридів МСМ-41< $\beta$ -CD>, МСМ-41< $FeSO_4$ > та МСМ-41< $\beta$ -CD< $FeSO_4$ >> діелектрична проникність зростає відповідно в три, п'ятнадцять та чотирнадцять разів на частоті 100 Гц.

7. При накладанні магнітного поля амплітуди і осциляцій ReZ ( $f$ ) в середньочастотному діапазоні 1—1000 Гц для MCM-41 <β-CD> сягає гігантських значень. Натомість у низькочастотній області (<1 Гц) вплив магнітного поля на дійсну складову комплексного імпедансу синтезованих структур є слабопомітним.
8. При частотах більших від 1 кГц спостерігаємо рідкісний ефект від'ємного зміннострумового магнітоопору: ReZ ( $f$ ) в магнітному полі для усіх трьох структур зменшується більш, ніж в 10 разів.
9. Діелектрична проникність зростаючи, сягає високих значень при величинах тангенса кута втрат, менших від одиниці. Це свідчить про прояв колосального магнітоємнісного ефекту.
10. У MCM-41<FeSO<sub>4</sub>> значення тангенса кута електричних втрат у дослідженій найнижкочастотнішій області (0,001—0,1 Гц) поєднується з колосальним значенням діелектричної прогніності ~10<sup>6</sup>, що вказує на те, що такий підхід може привести до успіху у створенні квантових акумуляторів.

## ЛІТЕРАТУРА

1. Барышников С. В., Чарная Е. В., Милинский А. Ю., Патрушев Ю. В. Фазовые переходы в KNO<sub>3</sub>, введенном в поры регулярной наноразмерной пленки MCM-41 // ФТТ. — 2013. — Т. 55, вып. 12. — С. 2439—2443.
2. Барышников С. В., Чарная Е. В., Милинский А. Ю., Стукова Е. В., Tien C., Bohlmann W., Michel D. Диэлектрические свойства смешанных сегнетоэлектриков NaNO<sub>2</sub>—KNO<sub>3</sub> в нанопористых силикатных матрицах // ФТТ. — 2010. — Т. 51, вып. 6. — С. 1172—1176.
3. Жигалина О. М., Воротилов К. А., Кускова А. Н., Сигов А. С. Электронная микроскопияnanoструктур титаната бария-стронция в матрице оксида алюминия // ФТТ. — 2009. — Т. 51, вып. 7. — С. 1400—1402.
4. Барышников С. В., Чарная Е. В., Стукова Е. В., Милинский А. Ю., Tien C. Диэлектрические исследования нанопористых пленок оксида алюминия, заполненных сегнетовою солью // ФТТ. — 2010. — Т. 52, вып. 7. — С. 1347—1350.
5. Данишевский А. М., Макарова Т. Л., Ситникова А. А., Шанина Б. Д. Характеристики магнетизма в нанопористом углероде с кластерами палладия // ФТТ. — 2011. — Т. 53, вып. 5. — С. 956—963.
6. Бухтиярова Г. А., Мартъяно О. Н., Якушкин С. С., Шуваева М. А., Баюков О. А. Состояние железа в наночастицах, полученных методом пропитки силикагеля и оксида алюминия рас твором FeSO<sub>4</sub>// ФТТ. — 2010. — Т. 52, вып. 4. — С. 771—781.
7. Ивичева С. Н., Каргин Ю. Ф., Овченков Е. А., Кокшаров Ю. А., Юрков Г. Ю. Свойства 3D — композитов на основе опаловых матриц и магнитных наночастиц // ФТТ. — 2011. — Т. 53, вып. 6. — С. 1053—1058.
8. Комогорцев С. В., Патрушева Т. Н., Балашев Д. А., Денисова Е. А., Пономаренко И. В. Наночастицы кобальтого феррита на основе мезопористого диоксида кремния // Письма в ЖТФ. — 2009. — Т. 35, вып. 19. — С. 6—11.
9. Панова Г. Х., Никонов А. А., Набережнов А. А., Фокин А. В. Сопротивление и магнитная восприимчивость сверхпроводящего свинца, внедренного в нанометровые поры стекла // ФТТ. — 2009. — Т. 51, вып. 51. — С. 2098—2101.
10. Барышникова С. В., Tien C., Чарная Е. В., Lee M. K., Michel D., Bohlmann W., Андріянова Н. П. Диэлектрические и ЯМР-исследования суперионного проводника AgI внедренного в мезопористые силикатные матрицы // ФТТ. — 2008. — Т. 50, вып. 7. — С. 1290—1294.
11. Choy J. H., Kwon S. J., Park G. S. High-*tc* superconductors in the two-dimensional limit: [(PY-C<sub>N</sub>H<sub>2N+1</sub>)<sub>2</sub>HgI<sub>4</sub>]-Bi<sub>2</sub>Sr<sub>2</sub>Ca<sub>m-1</sub>Cu<sub>m</sub>O<sub>y</sub> ( $m=1$  and 2) // Science. — 1998. — Vol. 280, No. 5369. — P. 1589—1592.
12. Choy J. H., Kwak S. Y., Park J. S., Jeong Y. J., Portier J. Intercalative Nanohybrids of Nucleoside Monophosphates and DNA in Layered Metal Hydroxide // J. Am. Chem. Soc. — 1999. — Vol. 121, No. 6. — P. 1399—1400.
13. Grygorchak I. I., Seredyuk B. O., Tovstyuk K. D., Bakhmatyuk B. P. High frequency capacitor nanostructure formation by intercalation // New Trends in Intercalation Compounds for Energy Storage. — Paris: Kluwer acad. publ. — 2002. — С. 543—545.
14. Voitovych S. A., Grygorchak I. I., Aksimentyeva O. I. Lateral semiconductive and polymer conductive nanolayered structures: preparation, properties and application // Mol. Cryst. Liq. Cryst. — 2008. — Vol. 497, No. 1. — P. 55—64.
15. Jin-Ho Choy, Seung-Min Peak, Jae-Min Oh, Eue-Soon Jang. Intercalative route to heterostructured nanohybrids // Current Applied

- Physics. — 2002. — Vol. 2, No. 6 — P. 489—495.
16. Лен Ж.-М. Супрамолекулярная химия. Концепции и перспективы / пер. с англ. — Новосибирск: Наука. Сиб. предприятие РАН, 1998. — С. 334.
17. Стид Дж. В. Этвуд Дж. Л. Супрамолекулярная химия /пер. с англ. — М: ИКЦ «Академкнига», 2007. — С. 896.
18. Elhabiri M., Albrecht-Gary A-M. Supramolecular edifices and switches based on metals // Coordination Chemistry Reviews. — 2008. — Vol. 252, No. 10—11. — P. 1079—1092.
19. Xuefeng Guo, Min Lai, Yan Kong, Weiping Ding, Qijie Yan and Peter C. T. Novel Coassembly Route to Cu—SiO<sub>2</sub> MCM-41-like Mesoporous Materials// Langmuir. — 2004. — Vol. 20, No. 7. — P. 2879—2882.
20. Черных Е. В., Бричкин С. Б. Супрамолекулярные комплексы на основе циклодекстринов // Химия высоких энергий. — 2010. — Т. 44, № 2. — С. 115—133.
21. Войнов Ю. П., Габитова Н. Ф., Горклек В. С., Свербиль П. П. Вторичное излучение синтетического опала, заполненного нитритом натрия // ФТТ. — 2009. — Т. 51, вып. 7. — С. 1333—1337.
22. Белякова Л. А., Ляшенко Д. Ю., Гребенюк А. Г., Дзюбенко Л. С. Комплексы включения « $\beta$ -циклодекстрин — бензолкарбоновая кислота»: стехиометрия, термодинамика комплексообразования, устойчивость, термостабильность // Поверхность. — 2009. — Т. 16, вып. 1. — С. 58—69.
23. Pollak M., Geballe T. H. Low frequency conductivity due to hopping processes in silicon // Phys. Rev. — 1961. — Vol. 122, No. 6. — P. 1742—1753.
24. Olehnovich Н. М., Moroz И. И., Pushkarев A. B., Radušo Yu. B., Salak A. N., Vyshatko H. P., Ferreira V. M. Температурная импеданс-спектроскопия твердых растворов  $(1 - x)Na_{1/2}Bi_{1/2}TiO_{3-x}LaMg_{1/2}Ti_{1/2}O_3$  // ФТТ. — 2008. — Т. 50, вып. 3. — С. 472—478.
25. Григорчак I. I., Ivaščišin F. O., Григорчак О. I., Матулка Д. В. Інтеркалатні наноструктури з ієрархічною супрамолекулярною архітектурою: отримання, властивості, застосування // ФІП. — 2010. — Т. 8, № 4. — С. 284—292.
26. Bisquert J., Randriamahazaka H., Garcia-Belmonte G. Inductive behaviour by charge-transfer and relaxation in solid-state electrochemistry // Electrochimica Acta. — 2005. — Vol. 51, No. 4. — P. 627—640.
27. Болтаев А. П., Бурбаев Т. М., Курбашов В. А., Рзаев М. М., Пенин Н. А., Сибельдин Н. Н. Эффекты накопления заряда и отрицательная емкость в гетероструктурах на основе кремния // Известия АН РФ. Серия физическая. — 1999. — Т 63, № 2. — С. 312—316.
28. Пенин Н. А Отрицательная емкость в полупроводниковых структурах // ФТП. — 1996. — Т. 30, вып. 4. — С. 626—634.
29. Болтаев А. П., Бурбаев Т. М., Калюжная Г. А., Курбашов В. А., Пенин Н. А. Отрицательная емкость в гетероструктурах Ni-TiO<sub>2</sub>-*p*-Si // Микроэлектроника. — 1995. — Т. 24, № 4. — С. 291—294.
30. Поклонский Н. А., Шпаковский С. В., Горбачук Н. И., Ластовский С. Б. Отрицательная емкость (импеданс индуктивного типа) кремниевых *p*<sup>+</sup> - *n* переходов, облученных быстрыми электронами // ФТП. — 2006. — Т. 40, вып. 7. — С. 824—828.
31. Mora-Sero I., Bisquert J., Fabregat-Santiago F., Garcia-Belmonte G. etc. Implications of the Negative Capacitance Observed at Forwards Bias in Nanocomposite and Polycrystalline Solar Cells // Nano Letters. — 2006. — Vol. 6, No. 4. — P. 640—650.
32. Сесслер Г. Электреты. — М.: Мир, 1983. — 487 с.
33. Фридкин В. М. Сегнетоэлектрики — полупроводники. — М.: Наука, 1976. — 408 с.
34. Фридкин В. М. Фотосегнетоэлектрики — М.: Наука, 1979. — 204 с.
35. Каширининов П. Г, Карпенко В. П., Матвеев О. А. Фотоэлектретный эффект на полупроводниковых материалах // ФТП. — 1971. — Т. 5, вып. 1. — С. 62—68.
36. Мирзаев З. И., Набиев Г. А., Эргашов К. М. Фотоэлектретное состояние без внешнего поляризующего поля в однородных полупроводниках // ФИП. — 2008. — Т. 6, № 1—2. — С. 65—68.
37. Okutan M., Basaran E., Bakan H. I., Yakuphanoglu F. AC conductivity and dielectric properties of Co-doped TiO<sub>2</sub> // Physica B: Condensed Matter. — 2005. — Vol. 364, No. 1—4. — P. 300—305.
38. Жуковський П. В., Партика Я., Венгерок П., Шостак Ю., Сидоренко Ю., Родзик А. Диелектрическі властивості соединений  $Cd_{1-x}Fe_xSe$  // ФТП. — 2000. — Т. 34, № 10. — С. 1174—1177.
39. Тареев Б. М. Физика диэлектрических материалов. — М.: Энергия, — 1973. — 328 с.
40. Jonscher A. K. The «universal» dielectric response // Nature. — 1977. — Vol. 267,

- No. 5613. — Р. 673—679.
41. Мотт Н., Девис Э. Электронные процессы в некристаллических веществах. — М.: Мир, 1982. — 662 с.
  42. Нагаїв Э. Л. Малые металлические частицы // УФН. — 1992. — Т. 162, № 9, С. 49—124.
  43. Болтаев А. П., Пудонин Ф. А. Аномально высокая низкочастотная эффективная диэлектрическая проницаемость в системе металлических наноостровов // ЖЭТФ. — 2008. — Т. 134, вып. 3. — С. 587—594.
  44. Беляев Б. А., Дрокин Н. А. Спектры импеданса тонких пермаллоевых пленок с наноостровковой структурой // ФТТ. — 2012. — Т. 54, вып. 2. — С. 340—346.
  45. Кастро Р. А., Онисимова Н. И., Бордовский В. А., Грабко Г. И. Влияние легирующей добавки на диэлектрические свойства модифицированного  $\text{As}_2\text{Se}_3$  // ФТТ. — 2011. — Т. 53, вып. 3. — С. 430—432.
  46. Гавриляченко В. Г., Кабиров Ю. В., Панченко Е. М., Ситало Е. И., Гавриляченко Т. В., Милов Е. В., Лянгузов Н. В. Особенности диэлектрического спектра  $\text{CaCu}_3\text{Ti}_4\text{O}_{12}$  в низкочастотном диапазоне // ФТТ. — 2013. — Т. 55, вып. 8. — С. 1540—1543.
  47. Анисимова Н. И., Бордовский В. А., Грабко В. И., Кастро Р. А. Особенности фотодиэлектрического эффекта в слоях  $\alpha\text{-As}_2\text{Se}_3$  // Письма в ЖТФ, 2013. — Т. 39, вып. 2. — С. 1—6.
  48. Impedance spectroscopy. Theory, experiment and application / Ed. by Barsoukov E. and Macdonald J. R. — Canada: Wiley interscience, 2005. — 585 p.
  49. Luryi S. Quantum capacitance devices // Appl. Phys. Lett. — 1988. — Vol. 52, No. 6, P. 501—503.
  50. Смоленский Г. А., Чупис И. Е. Сегнетомагнетики // УФН. — 1982. — Т. 137, вып. 3. — С. 415—448.
  51. Kimura T., Goto T., Shintani H., Ishizaka K., Arima T., Tokura Y. Magnetic control of ferroelectric polarization // Nature. — 2003. — Vol. 426, No. 6962. — Р. 55—58.
  52. Демин Р. В., Королева Л. И., Муминов А. З., Муковский Я. М. Гигантская объемная магнитострикция и колоссальное магнитосопротивление при комнатных температурах в  $\text{La}_{0.7}\text{Ba}_{0.3}\text{MnO}_3$  // ФТТ. — 2006. — Т. 48, вып. 2. — С. 305—307.
  - v  $\text{KNO}_3$ , введенном в поры регулярной наноразмерной пленки MSM-41 // ФТТ. — 2013. — Vol. 55, вып. 12. — P. 2439—2443.
  2. Baryshnikov S. V., Charnaya E. V., Milinskij A. Yu., Stukova E. V., Tien C., Bohlmann W., Michel D. Dielektricheskie svojstva smeshannyh segnetoelektrikov  $\text{NaNO}_2$  —  $\text{KNO}_3$  v nanoporistykh silikatnyh matricah // ФТТ. — 2010. — Vol. 51, вып. 6. — P. 1172—1176.
  3. Zhigalina O. M., Vorotilov K. A., Kuskova A. N., Sigov A. S. Elektronnaya mikroskopiya nanostruktur titanata bariya-stronciya v matrice oksida alyuminiya // ФТТ. — 2009. — Vol. 51, вып. 7. — P. 1400—1402.
  4. Baryshnikov S. V., Charnaya E. V., Stukova E. V., Milinskij A. Yu., Tien C. Dielektricheskie issledovaniya nanoporistykh plenok oksida alyuminiya, zapolnenyh segnetovoyu sol'yu // ФТТ. — 2010. — Vol. 52, вып. 7. — P. 1347—1350.
  5. Danishevskij A. M., Makarova T. L., Sitnikova A. A., Shanina B. D. Harakteristiki magnetizma v nanoporistom uglerode s klasterami palladiya // ФТТ. — 2011. — Vol. 53, вып. 5. — P. 956—963.
  6. Buhtiyarova G. A., Mart'yano O. N., Yakushkin S. S., Shubaeva M. A., Bayukov O. A. Sostoyanie zheleza v nanochasticah, poluchennyh metodom propitki silikagelya i oksida alyuminiya ras tvorom  $\text{FeSO}_4$  // ФТТ. — 2010. — Vol. 52, вып. 4. — P. 771—781.
  7. Ivicheva S. N., Kargin Yu. F., Ovchenkov E. A., Koksharov Yu. A., Yurkov G. Yu. Svojstva 3D — kompozitov na osnove opalovyh matric i magnitnyh nanochastic // ФТТ. — 2011. — Vol. 53, вып. 6. — P. 1053—1058.
  8. Komogorcev S. V., Patrusheva T. N., Balaev D. A., Denisova E. A., Ponomarenko I. V. Nanochasticy kobal'togo ferrita na osnove mezoporistogo dioksida kremniya // Pis'ma v ZhTF. — 2009. — Vol. 35, вып. 19. — P. 6—11.
  9. Panova G. H., Nikonov A. A., Naberezhnov A. A., Fokin A. V. Soprotivlenie i magnitnaya vospriimchivost' sverhprovodyschego svinca, vnedrennogo v nanometrovye porы stekla // ФТТ. — 2009. — Vol. 51, вып. 51. — P. 2098—2101.
  10. Baryshnikov S. V., Tien S., Charnaya E. V., Lee M. K., Michel D., Bohlmann W., Andriyanova N. P. Dielektricheskie i YaMR-issledovaniya superionnogo provodnika  $\text{AgI}$  vnedrennogo v mezoporistyie silikatnye matricy // ФТТ. — 2008. — Vol. 50, вып. 7. — P. 1290—1294.
  11. Choy J. H., Kwon S. J., Park G. S. High- $T_c$  superconductors in the two-dimensional limit:

## LITERATURA

1. Baryshnikov S. V., Charnaya E. V., Milinskij A. Yu., Patrushev Yu. V. Fazovye perekhody

- $[(PY-CNH_{2N} +)_2HGI_4]-Bi_2Sr_2Ca_{m-1}Cu_mO_y$  ( $m = 1$  and  $2$ ) // Science. — 1998. — Vol. 280, No. 5369 — P. 1589—1592.
12. Choy J. H., Kwak S. Y., Park J. S., Jeong Y. J., Portier J. Intercalative Nanohybrids of Nucleoside Monophosphates and DNA in Layered Metal Hydroxide // J. Am. Chem. Soc. — 1999. — Vol. 121, No. 6. — P. 1399—1400.
  13. Grygorchak I. I., Seredyuk B. O., Tovstyuk K. D., Bakhmatyuk B. P. High frequency capacitor nanostructure formation by intercalation // New Trends in Intercalation Compounds for Energy Storage. — Paris: Kluwer acad. publ. — 2002. — P. 543—545.
  14. Voitovych S. A., Grygorchak I. I., Aksimentyeva O. I. Lateral semiconductive and polymer conductive nanolayered structures: preparation, properties and application // Mol. Cryst. Liq. Cryst. — 2008. — Vol. 497, No. 1. — P. 55—64.
  15. Jin-Ho Choy, Seung-Min Peak, Jae-Min Oh, Eue-Soon Jang. Intercalative route to heterostructured nanohybrids // Current Applied Physics. — 2002. — Vol. 2, No. 6 — P. 489—495.
  16. Len Zh.-M. Supramolekulyarnaya himiya. Konsepcii i perspektiv / per. s angl. — Novosibirsk: Nauka. Sib. predpriyatiye RAN, 1998. — P. 334.
  17. StidDzh. V. EtvudDzh. L. Supramolekulyarnaya himiya /per. s angl. — M: IKC «Akademkniga», 2007. — P. 896.
  18. Elhabiri M., Albrecht-Gary A-M. Supramolecular edifices and switches based on metals // Coordination Chemistry Reviews. — 2008. — Vol. 252, No. 10—11. — P. 1079—1092.
  19. Xuefeng Guo, Min Lai, Yan Kong, Weiping Ding, Qijie Yan and Peter C. T. Novel Coassembly Route to Cu—SiO<sub>2</sub> MCM-41-like Mesoporous Materials // Langmuir. — 2004. — Vol. 20, No. 7. — P. 2879—2882.
  20. Chernyh E. V., Brichkin S. B. Supramolekulyarnye kompleksy na osnove ciklodekstrinov // Himiya vysokih energij. — 2010. — Vol. 44, No. 2. — P. 115—133.
  21. Vojnov Yu. P., Gabitova N. F., Gorkelik V. S., Sverbil' P. P. Vtorichnoe izluchenie sinteticheskogo opala, zapolnenogo nitritom natriya // FTT. — 2009. — Vol. 51, vyp. 7. — P. 1333—1337.
  22. Belyakova L. A., Lyashenko D. Yu., Grebenyuk A. G., Dzyubenko L. S. Kompleksy vklyucheniya « $\beta$ -ciklodekstrin—benzolkarbonovaya kislota»: stehiometriya, termodinamika kompleksoobrazovaniya, ustojchivost', termostabilnost' // Poverhnost'. — 2009. — Vol. 16, vyp. 1. — P. 58—69.
  23. Rollak M., Geballe T. H. Low frequency conductivity due to hopping processes in silicon // Phys. Rev. — 1961. — Vol. 122, No. 6. — P. 1742—1753.
  24. Olehnovich N. M., Moroz I. I., Pushkarev A. V., Radyush Yu. V., Salak A. N., Vyshatko N. P., Ferreira V. M. Temperaturnaya impedans-spektroskopiya tverdyh rastvorov ( $1 - x$ )  $Na_{1/2}Bi_{1/2}TiO_{3-x}LaMg_{1/2}Ti_{1/2}O_3$  // FTT. — 2008. — T. 50, vyp. 3. — P. 472—478.
  25. Grigorchak I. I., Ivaschishin F. O., Grigorochak O. I., Matulka D. V. Interkalatni nanostrukturi z ierarhichnoyu supramolekulyarnoyu arhitekturoyu: otrimannya, vlastivosti, zastosuvannya // FIP. — 2010. — Vol. 8, No. 4. — P. 284—292.
  26. Bisquert J., Randriamahazaka H., Garcia-Belmonte G. Inductive behaviour by charge-transfer and relaxation in solid-state electrochemistry // Electrochimica Acta. — 2005. — Vol. 51, No. 4. — P. 627—640.
  27. Boltayev A. P., Burbaev T. M., Kurbashov V. A., Rzaev M. M., Penin N. A., Sibel'din N. N. Efekty nakopleniya zaryada i otricatel'naya emkost' v geterostrukturah na osnove kremniya // Izvestiya AN RF. Seriya fizicheskaya. — 1999. — Vol. 63, No. 2. — P. 312—316.
  28. Penin N. A. Otricatel'naya emkost' v poluprovodnikovyh strukturah // FTP. — 1996. — Vol. 30, vyp. 4. — P. 626—634.
  29. Boltayev A. P., Burbaev T. M., Kalyuzhnaya G. A., Kurbashov V. A., Penin N. A. Otricatel'naya emkost' v geterostrukturah Ni-TiO<sub>2</sub>-p-Si // Mikroelektronika. — 1995. — Vol. 24, No. 4. — P. 291—294.
  30. Poklonskij N. A., Shpakovskij S. V., Gorbachuk N. I., Lastovskij S. B. Otricatel'naya emkost' (impedans induktivnogo tipa) kremnievyh  $r^+ - n$  perehodov, oblichennyyh bystryimi elektronami // FTP. — 2006. — Vol. 40, vyp. 7. — P. 824—828.
  31. Mora-Sero I., Bisquert J., Fabregat-Santiago F., Garcia-Belmonte G. etc. Implications of the Negative Capacitance Observed at Forwards Bias in Nanocomposite and Polycrystalline Solar Cells // Nano Letters. — 2006. — Vol. 6, No. 4. — P. 640—650.
  32. Sessler G. Elektretы. — M.: Mir, 1983. — 487 p.
  33. Fridkin V. M. Segnetoelektriки — poluprovodniki. — M.: Nauka, 1976. — 408 p.
  34. Fridkin V. M. Fotosegnetoelektriки — M.: Nauka, 1979. — 204 p.
  35. Kashirininov P. G., Karpenko V. P., Matveev O. A. Fotoelektretnyj effekt napoluprovodnikovyh materialah // FTP. — 1971. — Vol. 5,

- vyp. 1. — P. 62—68.
36. Mirzaev Z. I., Nabiev G. A., Ergashov K. M. Fotoelektretnoe sostoyanie bez vneshnego poliarizuyuscheho polya v odnorodnyh poluprovodnikah // FIP. — 2008. — Vol. 6, No. 1—2. — P. 65—68.
37. Okutan M., Basaran E., Bakan H. I., Yakuphanoglu F. AC conductivity and dielectric properties of Co-doped  $\text{TiO}_2$  // Physica B: Condensed Matter. — 2005. — Vol. 364, No. 1—4. — P. 300—305.
38. Zhukov's'kij P. V., Partika Ya., Vengerok P., Shostak Yu., Sidorenko Yu., Rodzik A. Dielektricheskie svojstva soedinenij  $\text{Cd}_{1-x}\text{Fe}_x\text{Se}$ // FTP. — 2000. — Vol. 34, No. 10. — P. 1174—1177.
39. Tareev B. M. Fizika dielektricheskikh materialov. — M.: Energiya, — 1973. — 328 p.
40. Jonscher A. K. The «universal» dielectric response // Nature. — 1977. — Vol. 267, No. 5613. — P. 673—679.
41. Mott N., Devis E. Elektronnye processy v nekrystallicheskikh veschestvah. — M.: Mir, 1982. — 662 p.
42. Nagaïv E. L. Malye metallicheskie chasty // UFN. — 1992. — Vol. 162, No. 9, P. 49—124.
43. Boltaev A. P., Pudonin F. A. Anomal'noe vysokaya nizkochastotnaya effektivnaya dielektricheskaya pronicaemost' v sisteme metallicheskikh nanoostrovov // ZhETF. — 2008. — Vol. 134, vyp. 3. — C. 587—594.
44. Belyaev B. A., Drokin N. A. Cpektry impedansa tonkih permalloevyh plenok s nanoostrovkovoj strukturoj // FTT. — 2012. — Vol. 54, vyp. 2. — P. 340—346.
45. Kastro R. A., Onisimova N. I., Bordovskij V. A., Grabko G. I. Vliyanie legiruyuschej dobavki na dielektricheskie svojstva modificirovanogo  $\text{As}_2\text{Se}_3$  // FTT. — 2011. — Vol. 53, vyp. 3. — P. 430—432.
46. Gavrilyachenko V. G., Kabirov Yu. V., Panchenko E. M., Sitalo E. I., Gavrilyachenko T. V., Milov E. V., Lyanguzov N. V. Osobennosti dielektricheskogo spektra  $\text{CaCu}_3\text{Ti}_4\text{O}_{12}$  v nizkochastotnom diapazone // FTT. — 2013. — Vol. 55, vyp. 8. — P. 1540—1543.
47. Anisimova N. I., Bordovskij V. A., Grabko V. I., Kastro R. A. Osobennosti fotodielektricheskogo effekta v sloyah  $\alpha\text{-As}_2\text{Se}_3$  // Pis'ma v ZhTF, 2013. — Vol. 39, vyp. 2. — P. 1—6.
48. Impedance spectroscopy. Theory, experiment and application / Ed. by Barsoukov E. and Macdonald J. R. — Canada: Wiley interscience, 2005. — 585 p.
49. Luryi S. Quantum capacitance devices // Appl. Phys. Lett. — 1988. — Vol. 52, No. 6, P. 501—503.
50. Smolenskij G. A., Chupis I. E. Segnetomagneti // UFN. — 1982. — Vol. 137, vyp. 3. — P. 415—448.
51. Kimura T., Goto T., Shintani H., Ishizaka K., Arima T., Tokura Y. Magnetic control of ferroelectric polarization // Nature. — 2003. — Vol. 426, No. 6962. — P. 55—58.
52. Demin R. V., Koroleva L. I., Muminov A. Z., Mukovskij Ya. M. Gigantskaya obemnaya magnitostriktciya i kolossal'noe magnitosoprotivlenie pri komnatnyh temperaturah v  $\text{La}_{0.7}\text{Ba}_{0.3}\text{MnO}_3$  // FTT. — 2006. — Vol. 48, vyp. 2. — P. 305—307.